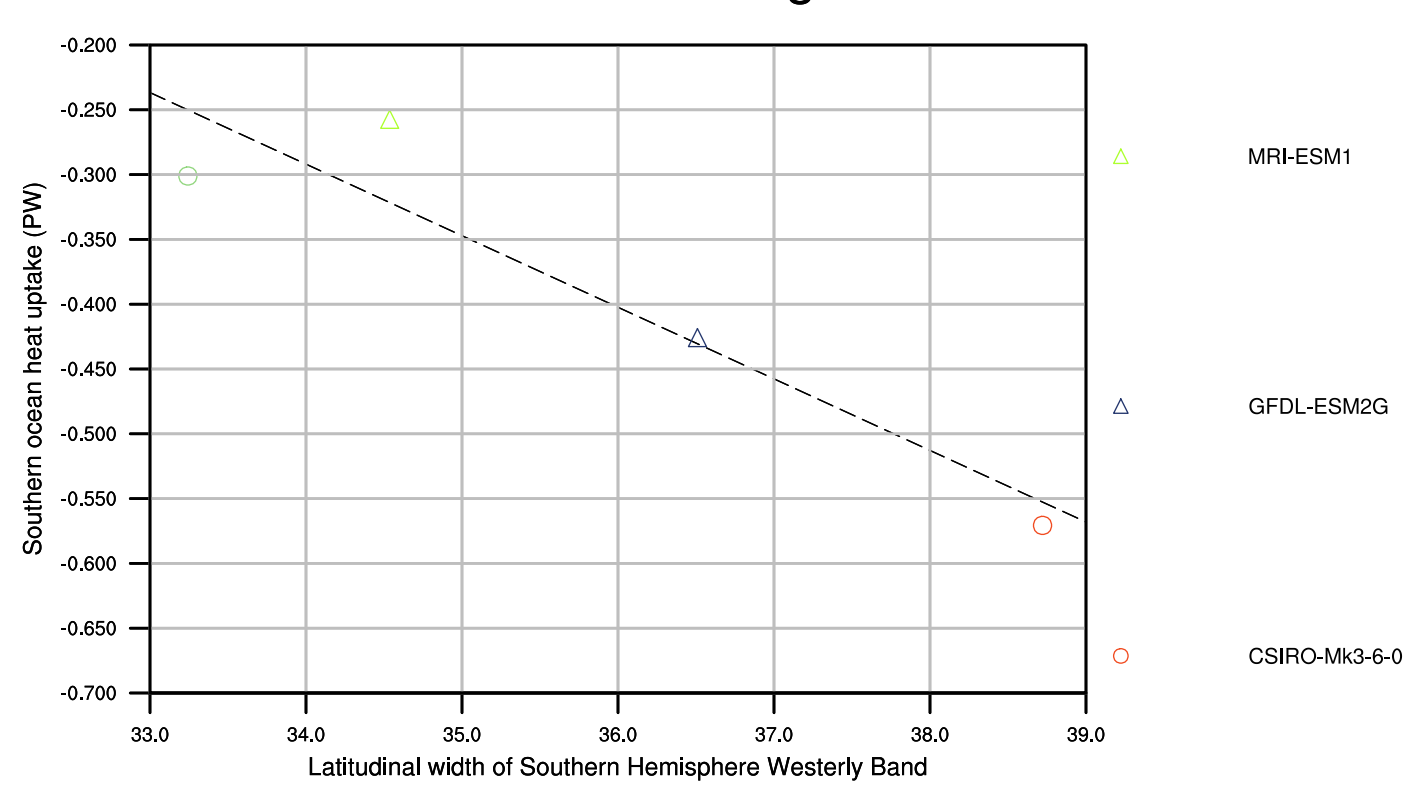
Russell et al 2018 - Figure 9a



CNRM-CM5